

## 음성 신호의 디지털화와 대역폭 축소의 방법에 관하여 [Ⅱ]—Vocoding

(On Speech Digitization and Bandwidth Compression  
Techniques[Ⅱ]—Vocoding)

殷鍾官\*  
(Un, Chong Kwan)

### 要 約

本論文은 음성신호의 디지털화와 帶域幅縮小에 관한一部<sup>1)</sup>에 이은二部論文이다. 몇가지近來에開發된 Vocoding方法, 즉 linear predictive coding(LPC), formant vocoding, residual excited linear prediction(RELP) vocoding, 그리고 adaptive predictive coding(APC)에 관하여論하였다. 本論文에서는音聲傳送에 있어서의帶域制限方法中 지금 가장효과가 있는LPC方法을중점적으로취급하였다. 또한현재처하고있는문제점들과해결책을토의하였다.

### Abstract

This paper is a sequel of the previous paper<sup>1)</sup> on speech digitization and bandwidth compression techniques. Several recently developed vocoding techniques, that is, linear predictive coding(LPC), formant vocoding, residual excited linear prediction(RELP) vocoding, and adaptive predictive coding(APC) are discussed. Throughout the paper emphasis is placed on the LPC approach that is presently the most promising technique in speech compression. In addition, current problems and possible solutions are discussed.

### 1. 序 論

音聲通信에서帶域幅을 가장效果的으로줄이는方法은音聲信號를直接量化하지 않고, 音聲信號의重要한性格만을一定한時間(10ms~30ms)마다抽出하여送信하고受信機에서는이情報を利用して音聲을다시構成하는方法이다. 이方法을쓰는音聲信號의符號器를vocoder, 또는分解一合成시스템(analysissynthesis system)이라고한다.

이論文은音聲信號의디지털화와帶域幅縮小方法에關한第Ⅱ部論文으로서 앞서第Ⅰ部<sup>1)</sup>에서取扱한ADPCM과ADM에이어vocoding方法이論議된다. 특히지금까지알려진vocoder중가장音質이좋고요

즈음急速히發達되는디지털技術과關聯하여많은利點이있는linear predictive coding(LPC)<sup>2,3)</sup>方法을重點으로論한다. Vocoding方法에는傳送速度를800bps까지내릴수있는formant vocoder<sup>4)</sup>, 2.4~4.8kbps程度의LPC vocoder<sup>2,5~7)</sup>시스템이雜音이나周圍環境에影響을받지않는6~9.6kbps의residual excited linear prediction(RELP) vocoder<sup>7)</sup>그리고8~16kbps의adaptive predictive coder(APC)<sup>9,10)</sup>等이있다. 本論文에서는LPC의原理를利用하여위에서列舉한여러가지vocoder를어떻게만들수있나를討論하고現在까지音聲信號의디지털化研究에서題起凡代表의問題點들을論議하겠다.

Vocoder의原理를理解하기爲해서는音聲이어떻게發生되고, 이것을디지털信號處理에서어떻게model化하나를알아야하므로먼저이에關하여簡單히記述한다.

\* 正會員, 한국과학원 전기 및 전자공학과  
(Dept. of Electrical Science KAIS)  
接受日字: 1978年 9月 4日

## 2. 音聲發生 Model<sup>11,12)</sup>

音聲은 크게 나누어 有聲音(voiced sound)과 無聲音(unvoiced sound)의 두種類가 있다. 有聲音은 聲帶를 振動시켜 나오는 air pressure의 準周期的인 pulse가 聲道(vocal tract)를 刺戟시켜 나온다. 한편 無聲音은 聲道를 壓縮시켜 만드는 random noise와 같은 性格의 air turbulence에 依해서 發生된다. 有聲音과 無聲音의 代表적인 波形과 그의 spectrum이 그림 1과 2에 각각 그려져 있다. 人間의 發聲器官은 시스템 理論的인 關點에서 보면 聲道는 時變線型 filter와 같고 air pressure의 pulse나 air turbulence는 이 filter를 excite시키는 source信號가 된다. Vocal tract filter를 形成하기 為해서는 音聲을 分析하여 必要한 parameter들을 구해야 되는데, 分析方法에 따라 vocoding方法이 달라지게 된다. 낮은 傳送速度의 vocoder나 디지털信號處理에 使用되는 音聲發生 model이 그림 3에 그려져 있다. Excitation source를 modeling하기 위하여 音聲을 實際로 發生시키는 方法이 여기에서도 使用되는데 有聲音은 pulse generator를 使用하

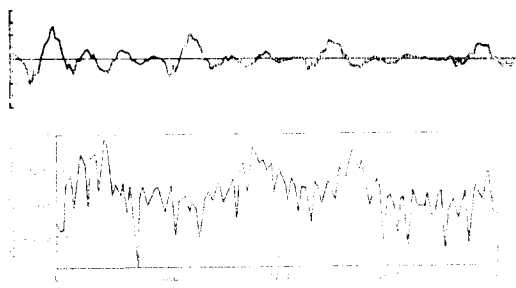


그림 1. 유성음 음성파형(上)과 FFT spectrum(下)  
Fig. 1. Temporal (top) and Spectral (bottom)  
Waveforms of Voiced Sound

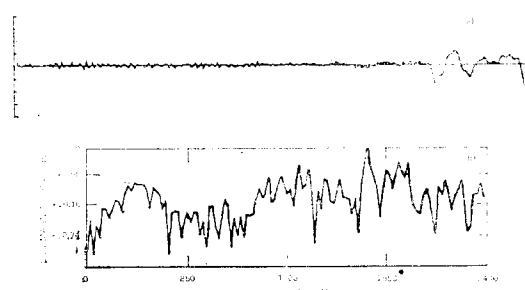


그림 2. 무성음 음성파형(上)과 FFT Spectrum(下)  
Fig. 2. Temporal (top) and spectral (bottom)  
waveforms of unvoiced sound,

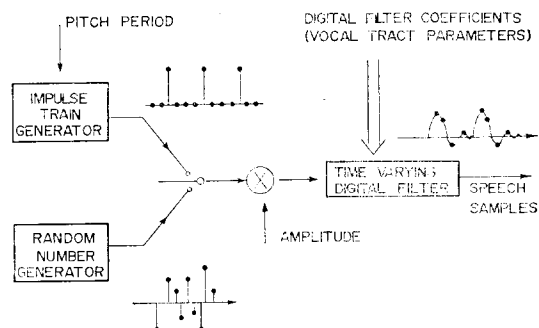


그림 3. 디지털 신호처리에 있어서의 음성발생 model  
Fig. 3. Model for production of speech in digital signal processing

고, 無聲音은 random noise generator를 使用한다. 따라서 두 source 중 하나를 사용하기 위해서는 먼저 音聲波型을 分析하여 有聲音인지 無聲音인지를 決定 [Voiced/Unvoiced (V/UV) decision]해야 하고, 有聲音인 境遇에는 周期(pitch period)를 決定해야 한다.

音聲波型은 그림 1에서 보여진 바와 같이一般的으로 時間に 따라 變하지만 천천히 波形이 變하는 性格을 가지고 있다. 따라서 音聲信號를 짧게 部分(10 ms ~ 30 ms)으로 나누면 나누어진 각各의 部分은 거의 時間に 따라 變하지 않는 信號처럼 보이게 된다. 그러므로 vocoder에서는 音聲信號를 quasi-stationary 信號로 간주하고 時間波形(time-waveform)을 約 20 ms 程度로 나누어 每 20 ms의 音聲을 分析하여 filter의 係數와 pitch에 關한 情報(즉 V/UV 決定 및 周期)를 얻게 된다.

## 3. Linear Predictive Coding(LPC)

音聲을 周波數領域(frequency domain)에서 分析하였을 때 音聲 spectrum은 急히 變하는 織細한 spectrum構造가 천천히 變하는 包絡線(envelope)에 依해 變調된 것처럼 나타난다. (그림 1 참조). 그림에서 이 織細한 spectrum構造는 excitation信號에 依한 것인데 spectral harmonics는 音聲의 周期(pitch 또는 fundamental frequency)에 該當되고 包絡線의構造는 vocal tract filter의 spectrum에 該當되는 것이다. LPC는 이 包絡線構造를 推定하는 한 方法으로서 지금까지 研究된 여러 가지 方法 중 가장 正確하고 効果的으로 計算할 수 있는 것으로 알려져 있다.

音聲을 LPC方法으로 分析하여 聲道filter의 係數들을 얻으려면 먼저 filter의 전달함수의 일반적인 model이 必要한데, 그것은 pole만을 갖는 digital

recursive linear filter로써 表現할 수 있다.

$$H(z) = \frac{1}{A(z)} = \frac{1}{1 - \sum_{i=1}^p a(i)z^{-i}} \quad (1)$$

여기에서  $a(i)$ 는 豫測係數로서 바로 聲道의 特性을 나타내는 parameter가 된다. 위의 聲道의 filter 전달 함수를 보다 더正確하게 나타내려면 pole뿐만 아니라 zero도 必要하다. 특히 한글의 “ㅁ”이나 “ㄴ”같은 鼻音(nasals)은 聲道의 side branch인 nasal cavity를 통해서 나오게 되는 데 이 경우에는 zero들이 더욱 必要하다. 그러나 pole은 물론 zero들까지 전달함수에 포함시키면 filter의 係數를 求하는 것이 대단히 複雜하게 된다. 이 点에 關해서는 나중에 다시 論하겠다.

LPC分析에서는 N sample의 입력 音聲 sequence  $\{s(n)\}$ 이 주어졌을 때 式(1)의 inverse filter(즉  $1/H(z)$  또는  $A(z)$ )의 出力 에너지를 最少化시키는 係數  $\{a(i)\}$ 의 値들을 어떻게 求하는 가가 問題의 焦點이 된다. LPC는 分析器(analyzer)의 入力 音聲 信號를 어떻게 實義하고豫測誤差(prediction error)를 어떻게 最少化하는 가에 따라 covariance method<sup>5)</sup>과 autocorrelation method<sup>6,13)</sup>의 두 가지로 区分된다. Covariance method은 工部에서 取扱된 ADPCM의 適應豫測器의豫測係數를 求하는 方法과 같은 것으로, 이미 討議 되었으므로 다시 反復하지 않고, 여기에서는 LPC vocoder에서 實際로 많이 쓰고 있는 autocorrelation method만 論하겠다.

Autocorrelation method의 特徵은 入力信號를 window function을 써서 잘라豫測誤差信號를 發生시키고 誤差 에너지를 時間(또는 sample 數)에 無關하게 最少化시키는 点이다. window function은 여러 種類가 있지만 主로 다음의 Hamming window를 많이 쓴다.

$$W_n = 0.54 - 0.46 \cdot \cos \frac{2\pi n}{N-1}, \quad n=0, \dots, N-1 \quad (2)$$

여기에서  $N$ 은 window의 길이(즉 sample 數)이다. window 된 音聲 信號를 가지고 誤差信號, 즉

$$e(k) = s(k) - \sum_{i=1}^p a(i)s(k-i) \quad (3)$$

를 發生시켜 [本論文 I部 참조] truncate시키지 않고 에너지를 最少化시키면 다음과 같은 P simultaneous autocorrelation의 式을 얻게 된다.

$$\sum_{k=1}^p a(k)R(|i-k|) = R(i), \quad i=1, 2, \dots, P \quad (4)$$

이 때 最少化된 誤差 에너지는

$$E_{\min} = R(0) - \sum_{k=1}^p a(k)R(k) \quad (5)$$

이다. 여기서

$$R(i) = \sum_{n=0}^{N-1} s(n)s(n+|i|), \quad R(i) = R(-i)$$

이다. 式(4)를 行列式으로 쓰면 다음과 같다.

$$\begin{pmatrix} R(0) & R(1) & R(2) & \dots & R(p-1) \\ R(1) & R(0) & R(1) & \dots & R(p-2) \\ \vdots & & \ddots & & \vdots \\ R(p-1) & R(p-2) & \dots & \dots & R(0) \end{pmatrix} \begin{pmatrix} a(1) \\ a(2) \\ \vdots \\ a(p) \end{pmatrix} = \begin{pmatrix} R(1) \\ R(2) \\ \vdots \\ R(p) \end{pmatrix} \quad (6)$$

위의  $p \times p$  行列式을 autocorrelation 行列이라 하는데 이 行列의 特性은 對稱的이고 diagonal element가 모두 같다. 이러한 行列을 Toeplitz matrix라고 하며, inverse matrix를 求하는데 있어 covariance matrix의 inversion을 위한 Cholesky method보다 훨씬 計算이 적게 所要되는 改良된 Levinson의 方法<sup>14)</sup>을 쓴다.

Autocorrelation method의 큰 利點은 filter의 係數  $\{a(i)\}$ 를 Toeplitz matrix를 使用하여 求했을 때 filter의 安定度(stability)가 언제나 保障된다는 点이다. 한편 Covariance method을 利用하여 求한 係數로 구성한 filter는 때로는 不安定한데, 이와 같은 filter는 人爲的으로 安定하게 만들어 주어야 한다.<sup>15)</sup> 또 한 가지 autocorrelation method의 長點은 filter의 係數들을 送信하는데 있어서  $\{a(i)\}$ 의 變形인 reflection 係數 (reflection coefficients)  $\{k(i)\}$ 를 쓸 수 있다는 점이다.  $\{k(i)\}$ 는  $\{a(i)\}$ 와 달리 dynamic range가 작아서 ( $|k(i)| \leq 1$ ) 符號化하는 데 bit의 數를 줄일 수 있고 filter의 安定度를 쉽게 檢查할 수 있다.

#### 4. LPC의 原理를 利用한 Vocoder의 例

앞서 序論에서 言及한 바와 같이 LPC의 原理를 利用한 vocoding의 方法이 여러 가지 있는데 여기에서는 代表의 例로 傳送速度가 2.4 kbps인 LPC vocoder와 1,200 bps인 formant vocoder, 6~9.6 kbps인 RELP vocoder, 그리고 8~16 kbps인 APC에 關하여 記述하겠다.

##### (A) Pitch-excited LPC vocoder<sup>2,5-7)</sup>

Autocorrelation method에 依한 LPC vocoder의 브록도가 그림 4에 그려져 있다. 이 브록도의 重要한 部分들을 說明하면 다음과 같다.

###### a. Low-pass filtering

音聲을 디지털화하기 前에 帶域制限을 시켜야 하는데 upper cut-off周波數은 vocoder의 使用 目的과 傳

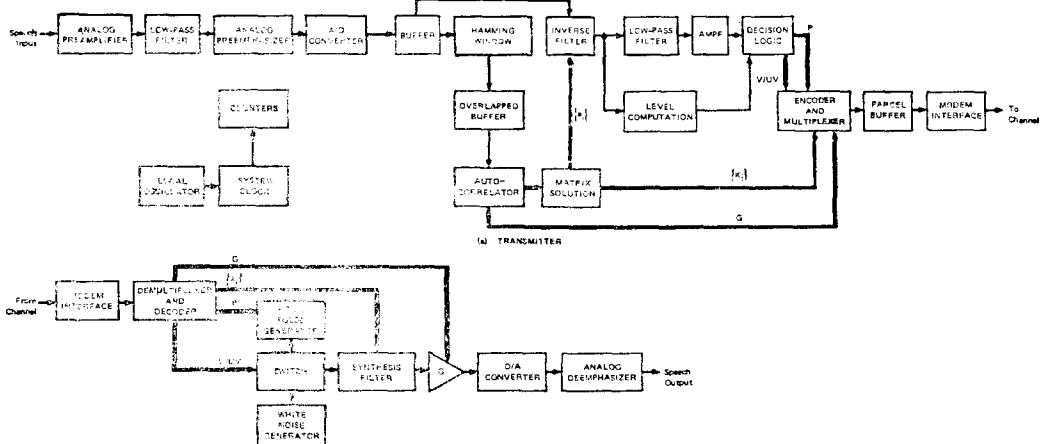


그림 4. LPC vocoder의 블록도  
Fig. 4. Block diagram of LPC vocoder.

送速度에 따라 달라지지만 그範圍는 普通 3~4 KHz 程度이다. Filter의 skirt decay는 디지털화하는 데 있어서 aliasing 問題를 最少化시키기 위해 普通 45 dB/octave 以上이 되어야 한다.

#### b. Pre-emphasis

音聲에 대해서 LPC 分析을 하기 前에 pre-emphasis를 하게 되면 高周波成分의 에너지를 6 dB/octave로 增加시키게 되므로 有聲音의 spectral dynamic range를 향하여 LPC係數의 符號化를 보다 正確하게 할 수 있고 vocoder hardware構成 時에는 word의 길이를 4 bits 程度 줄일 수 있는 利點들이 있다.<sup>2)</sup> pre-emphasis는 入力 信號를 微分하는 것에 不過하여 3d Ebreaking-point 周波數은 普通 100 Hz 程度이다.

#### c. LPC 分析

LPC 分析은 세 가지 目的을 達成하기 為한 것으로 첫째, 豫測係數를 求하고 둘째, 豫測係數를 利用하여 inverse vocal tract filter를 構成해서 pitch에 關한 情報을 抽出하는데 为此도록 誤差 信號를 만들어내며, 셋째, 誤差 信號 에너지를 計算하여 excitation의 gain으로 使用한다. LPC 分析을 為한 機能을 그림 4 블록도의 buffer, Hamming window, autocorrelation-matrix solution과 inverse filter가 하며 이에 關하여는 앞서 論한 바와 같다.

LPC 分析에서重要な 것은 最適의 係數의 數를 定하는 일이다. 入力 音聲 信號를 3 KHz로 帶域 制限을 하였을 때 spectrum은 普通 3~4개의 resonance peak(또는 formant라고도 함)를 갖는다. Vocal tract의 formant들은 vocal tract filter  $H(z)$  [式 (1) 참조]의 pole에 依해서 決定되고 이 pole들은 complex conjugate로 생기므로 3개의 formant를 나타내려면 係數의 數는 理論적으로 6개가 必要하나 實際로는 10개

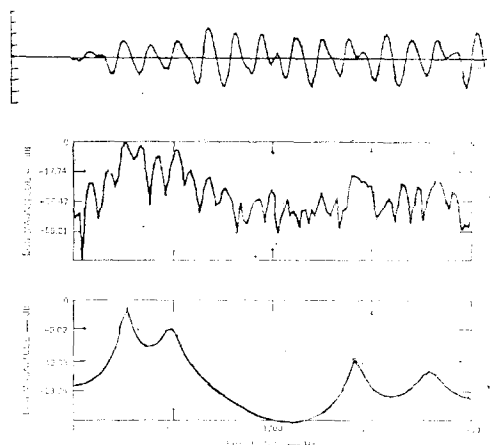


그림 5. 음성의 시간파형(上), FFT spectrum(中) 및 LPC spectrum(下) [10개의 LPC 계수를 사용했음]

Fig. 5. Speech temporal waveform (top), its FFT spectrum(middle) and LPC spectrum (bottom). [10LPC ccoefficients were used.]

程度가 되어야 한다. 係數의 數가 많아지면 vocoder의 音質이 어느 程度 改善되나 傳送速度가 커짐은 물론 計算時間이 길어지고 시스템이 複雜해지기 때문에 必要 以上으로 係數를 많이 쓰지 않는다. 그림 5에 音聲의 時間波形과 그것의 FFT spectrum, 그리고 10개의 係數를 使用했을 때의 LPC spectrum이 보여져 있다.

#### d. Pitch Extraction

Vocoder의 傳送速度를 4.8 kbps 以不로 내리려면 入力 音聲이나 inverse filter에 依해서 단돈 誤差 信號를 利用하여 먼저 分析되는 音聲이 有聲音인가 無聲音인가를 決定하고(voiced/unvoiced decision) 有聲音



그림 6. LPC inverse filtering 과 AMDF 를 사용한 pitch extractor

Fig. 6. A pitchextractor based on LPC inverse filtering and AMDF.

인境遇에는 그의 周期를 测定해야 한다. pitch extraction 은 pattern 認識을 하는 것으로서 vocoder 研究가始作된 後부터 繼續研究가 되어 왔지만 아직까지 完璧한 시스템을 만들 수 없는 어려운 分野이다. pitch extraction 的 代表적인 例로는 autocorrelation 또는 그의 變形인 average magnitude difference function (AMDF)을 使用하는 方法<sup>15,16)</sup>, parallel processing 과 같은 time-domain에서 하는 方法<sup>17)</sup>, data reduction 方法<sup>18)</sup>, cepstrum 方法<sup>19)</sup>, LPC inverse filtering 을 使用하는 方法<sup>20,21)</sup>, 等을 들 수 있다. 위의 여러 方法들 중 나중의 두 方法이 가장 效果的이다. 特히 近來에 研究된 LPC inverse filtering 에 依하여 얻은 誤差 信號를 가지고 AMDF 波形을 形成하여 얻은 pitch extraction[그림 6 참조]은 正確한 結果를 얻을 뿐만 아니라 hardware 構成時 multiplier 가 必要없는 長點이 있다.

#### e. Parameter 符號化 및 傳送

LPC 分析器가 抽出한 parameter 들, 즉 10개 程度의 反射係數  $\{k(i)\}$ , 有聲音／無聲音 (V/UV) 分別, 周期 (P), 그리고 Gain (G) 은 傳送되기 前 먼저 量化되어야만 된다.  $\{k(i)\}$  를 除外한 다른 parameter 들은 線型量化하여 符號化하면 傳送速度가 約 400~500 bps 程度로 充分하다. 그러나  $\{k(i)\}$  를 符號化하는 데에는 적어도 約 2,000 bps 가 必要하므로 vocoder 의 全體 傳送速度(約 2,400 bps)의 大部分이  $\{k(i)\}$  를 符號化하는 데 쓰여지고 있다. 따라서 傳送 speed 를 즐이거나 音質을 改善하기 為해서는  $\{k(i)\}$  를 效果的으로 符號化하는 問題가 重要하다. 지난 數年 동안 提示된 方法에는 Log area ratio 量化方法<sup>22)</sup>, equal area 量化方法<sup>23)</sup>, arc sine method<sup>24)</sup>, 그리고 piecewise linear rear quantization<sup>25)</sup> 等이 있다.

#### f. 音聲 合成(Speech Synthesis)

傳送된 音聲의 parameter 들을 受信器에서 받으면 이들을 利用하여 音聲을 合成하게 된다. 受信機는 作用上 크게 excitation source 와 合成 filter 의 두 部分으로 나눌 수 있다. excitation source 로서는 pulse

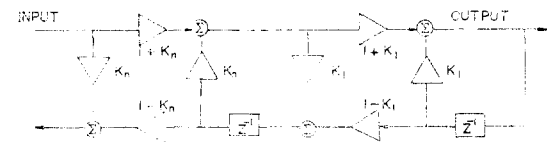
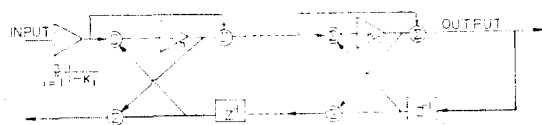


그림 7. LPC vocoder 合成器의 lattice 型 (上)과 ladder 型 filter(不)

Fig. 7. Lattice (top) and ladder(bottom) filters for LPC vocoder.

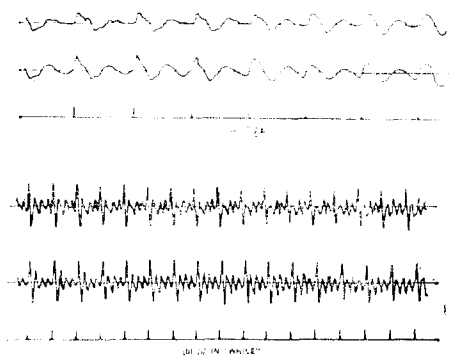


그림 8. LPC Vocoder 입력음성(上) 합성음성(中) 파형의 비교 (아래에 보여진 pulse train 이 excitation signal 입)

Fig. 8. Comparison of input (top) and synthesis (middle) speech of LPC vocoder, (The pulse train shown at the bottom is the excitation.)

generator 와 random noise generator 를 使用하고, V/UV 情報에 따라 switch 가 合成 filter 와 두 source 중 하나에 連結된다.勿論 pulse generator에서 나오는 pulse 的 發生 간격은 受信된 pitch 周期 P에 依해서 定해진다.

合成 filter 는 數式的으로 式 (1)과 같고 係數  $\{a(i)\}$  를 갖고 構成할 수 있으나 실체 ‘는 반사계수  $\{k(i)\}$ ’로 構成한다. 그 理由는 受信된 係數가  $\{k(i)\}$  이므로  $\{a(i)\}$  로 다시 바꾸는 번거로움을 避할 수 있고  $\{k(i)\}$ 로 構成된 filter 가 構造上 round-off 誤差를 減少시키는 長點이 있기 때문이다.  $\{k(i)\}$  를 使用하여 構成한 lattice 型과 ladder 型의 filter 가 그림 7에 그려져 있다. 두 型을 比較하여 볼 때, ladder 型은 lattice 型보

다 round-off 誤差가 적은 反面 multiplier 를 많이 使用하기 때문에 計算 時間이 많이 걸리고 hardware 가 더 複雜한 短點이 있다.<sup>24)</sup> 마지막으로 合成 filter 의 出力은 受信된 gain에 依하여 振幅이 調整된 後 D/A 變換器에 依해서 analog 信號로 바꾼 다음 pre-emphasis 의 反對作用인 de-emphasis 를 해주면 原來의 音聲과 같은 信號를 얻을 수 있다. 原來의 音聲과 LPC vocoder에 依해서 얻어진 合成된 音成의 波形이 그림 8에 比較되어 있다.

参考로 지금까지 論한 LPC vocoder의 計算에 所要 되는 時間을 생각하여 보면, 勿論 이 시스템은 real

time 으로 動作을 해야 하므로 音聲의 parameter 들을 每 20 ms 마다 送信해야 될 境遇 모든 計算을 그동안에 마쳐야만 될 것이다. 多幸히 요즈음 많이 쓰이는 Schottky TTL MSI 나 LSI 는 速度가 빨라서 이러한 半導體 부품으로 시스템을 構成하면 LPC 分析, pitch extraction, 音聲合成을 모두 10 ms 안에 할 수 있다.<sup>25)</sup> 또한 近來에는 vocoder 시스템을 micro-processor'로도 많이 만들고 있는데<sup>26)</sup> real time 시스템이 되기 위해서는 速度가 빠른 bipolar microprocessor 를 使用하여야 한다.

〈第15卷, 6號계속〉

